

北祁连黑石山花岗岩LA-ICP-MS锆石U-Pb年龄及其地质意义

赵国斌¹, 杨合群¹, 任华宁¹, 贾 健¹, 王永和¹, 李金超¹, 周 宏²
ZHAO Guo-bin¹, YANG He-qun¹, REN Hua-ning¹, JIA Jian¹,
WANG Yong-he¹, LI Jin-chao¹, ZHOU Hong²

1. 西安地质矿产研究所, 国土资源部岩浆作用成矿与找矿重点实验室, 陕西 西安 710054;

2. 甘肃有色地质调查院, 甘肃 兰州 730000

1. MLR Key Laboratory of Genesis and Exploration of Magmatic Ore Deposits, Xi'an Institute of Geology and Mineral Resources, Xi'an 710054, Shaanxi, China;
2. Gansu Institute of Geological Survey for Nonferrous Metals, Lanzhou 730000, Gansu, China

摘要: 北祁连黑石山地区的基性—酸性火山岩中, 从南向北依次产出郝泉沟、白马洼、黑石山沟、放符崖等花岗岩体, 其中在郝泉沟斜长花岗岩体中发现了郝泉沟金矿床。采用 LA-ICP-MS 同位素测定技术, 获得白马洼英云闪长岩和郝泉沟斜长花岗岩的锆石 U-Pb 年龄分别为 (440.2 ± 2.4) Ma 和 (431.8 ± 2.4) Ma, 表明岩体形成时代为晚奥陶世末—早志留世; 同时测定白马洼花岗岩体的全岩 Rb-Sr 和 Sm-Nd 同位素组成, 计算的 $(^{87}\text{Sr}/^{86}\text{Sr})_i$ 值为 0.70535, $\epsilon_{\text{Nd}}(t)$ 值为 1.11, 推断其源于增厚的下地壳。本次研究表明, 在早古生代晚期, 随着祁连洋盆闭合, 中祁连地块与北祁连奥陶纪岛弧发生碰撞, 导致地壳加厚, 引起下地壳玄武质岩石部分重熔, 黑石山地区的花岗岩体形成于这一背景下。

关键词: 斜长花岗岩; 英云闪长岩; LA-ICP-MS 锆石 U-Pb 年龄; 黑石山; 北祁连

中图分类号:P588.12⁺1; P597⁺.3 文献标志码:A 文章编号:1671-2552(2013)10-1575-09

Zhao G B, Yang H Q, Ren H N, Jia J, Wang Y H, Li J C, Zhou H. LA-ICP-MS zircon U-Pb ages of Heishishan granite bodies in north Qilian and their geological significance. Geological Bulletin of China, 2013, 32(10):1575-1583

Abstract: The Haoquangou, Baimawa, Heishishangou and Fangfuya granite bodies are exposed from the south to the north in the basic-acidic volcanic rocks of Heishishan area of north Qilian, and the Haoquangou gold deposit was found in the Haoquangou plagiogranite body. Based on LA-ICP-MS zircon U-Pb geochronologic study, the authors obtained the age of (440.2 ± 2.4) Ma ($\text{MSWD}=0.052$) for Baimawa tonalite and the age of (431.8 ± 2.4) Ma ($\text{MSWD}=0.042$) for Haoquangou plagiogranite, suggesting that these intrusive bodies were formed in late Ordovician–early Silurian period. Based on the whole rock Rb-Sr and Sm-Nd isotope composition of Baimawa tonalite, the authors calculated the $(^{87}\text{Sr}/^{86}\text{Sr})_i$ value and the $\epsilon_{\text{Nd}}(t)$ value, which are 0.70535 and 1.11 respectively. These data show that Baimawa granite body might have originated in the thickened lower crust. This study has revealed that the north Qilian probably experienced the tectonic evolution of the closure of the Qilian Ocean, the collision of the central Qilian block with the north Qilian Ordovician island arc, the thickening of the crust, and then the partial remelting of basaltic rocks in the lower crust during the late Early Paleozoic; as a result, the granite bodies of Heishishan area were formed.

Key words: plagiogranite; tonalite; LA-ICP-MS zircon U-Pb dating; Heishishan; north Qilian

在北祁连黑石山地区的基性—酸性火山岩中, 从南向北依次产出郝泉沟、白马洼、黑石山沟和放符崖等中酸性侵入岩体, 其中郝泉沟岩体中发现了郝泉沟金矿床, 显示出该类侵入岩体具有形成金矿的

收稿日期:2013-05-31; 修订日期:2013-07-11

资助项目:中国地质调查局项目(编号:1212011085083、12120113047300)

作者简介:赵国斌(1978-),男,硕士,助理研究员,从事成矿规律与矿产预测研究。E-mail:zhaoguo12345@sina.com

潜力。前人对该地区花岗岩体的分布规律、地质地球化学特征、矿床地质特征、成因等进行研究探讨^[1-5],但很少见到有关岩体成岩成矿年代学方面的研究,在一定程度上制约了该地区今后的金矿找矿工作。

为了准确地厘定黑石山地区花岗岩体的形成时代，笔者选择白马洼英云闪长岩体和郝泉沟斜长花岗岩体进行 LA-ICP-MS 锆石 U-Pb 同位素研究，同时结合岩体地球化学、全岩 Rb-Sr 和 Sm-Nd 同位素组成及区域地质资料，探讨岩浆起源及岩体形成的地质背景，对于本地区今后开展与中酸性侵入岩有关的找矿工作具有重要的意义。

1 地质背景

黑石山地区地处甘肃省白银铜多金属矿区西南部,大地构造位置属北祁连加里东褶皱带东段,北西向的石青铜-苏家湾大断裂及其次生断裂控制了区内火山岩、侵入岩的分布和产状。区内花岗岩体沿石青铜-苏家湾大断裂北东侧的次级近EW向平行断裂分布,呈岩枝、岩墙及岩株状产出。由南向北逐渐远离大断裂,其出露规模有逐渐增大的趋势^[1]。以距大断裂最近的郝泉沟岩体(I—III号)最小,距离最远的放符崖岩体规模最大(图1)。这些岩体均侵入于寒武系—奥陶系海相酸性—基性火山岩系地层中^[6-9]。

2 岩相学及地球化学特征

2.1 岩相学特征

白马洼花岗岩体岩性为英云闪长岩,岩石呈块状构造,花岗结构,主要矿物组成为斜长石(62%)、石英(25%)和黑云母(12%)。斜长石晶体形态呈板状或粒状,粒径大小在1.2~2.5mm之间,次生蚀变明显,多被绢云母交代。石英晶体普遍产生重结晶现象,使晶体粒径增大,常呈波状消光。黑云母受变质作用影响,晶体多发生弯曲,并产生绿泥石化及碳酸盐化,被方解石交代。岩石中还含有少量白云母,由交代斜长石的绢云母转变而来。岩石中副矿物有少量磷灰石,呈微小粒状晶体,常作为黑云母的包裹物出现。岩石有轻微碳酸盐化,并有少量方解石脉。

郝泉沟花岗岩体岩性为斜长花岗岩，岩石为块状构造，变余花岗结构。主要矿物成分为斜长石和石英(>25%)，含少量云母。岩石次生蚀变强烈，原生矿物斜长石大多已次生分解，被绢云母及白云母代替。

仅有少部分斜长石残留体。石英呈等轴粒状晶体，多发生重结晶。原岩中的黑云母均被绿泥石交代。岩石中云英岩化蚀变强烈，新生成了许多细小的石英及云母晶体(图版 I)。

2.2 地球化学特征

王光宁^[1]认为黑石山地区的4个中酸性侵入岩体均属I型花岗岩,为同一岩浆房演化的产物。王金荣等^[5]认为,黑石山花岗岩富Si、Na,高Sr,低Y、Yb,富集LREE,无Eu负异常,显示出埃达克岩的地球化学特征。本次测得白马洼英云闪长岩中SiO₂含量为70.28%,Al₂O₃含量为13.88%,MgO含量为1.93%,K₂O含量为1.90%,Na₂O含量为3.52%,Nb含量5.49×10⁻⁶,Y含量4.58×10⁻⁶。郝泉沟斜长花岗岩中SiO₂含量为70.88%,Al₂O₃含量为14.08%,MgO含量为1.16%,K₂O含量为2.35%,Na₂O含量为3.44%,Nb含量11.1×10⁻⁶,Y含量4.93×10⁻⁶。在花岗岩K₂O-SiO₂图解(图2)中,2个岩体均落入钙碱性系列。

3 测试方法和结果

3.1 测试方法

本次测试样品分别采自白马洼岩体和郝泉沟Ⅰ号岩体(采样位置示于图1)。2件花岗岩样品的锆石

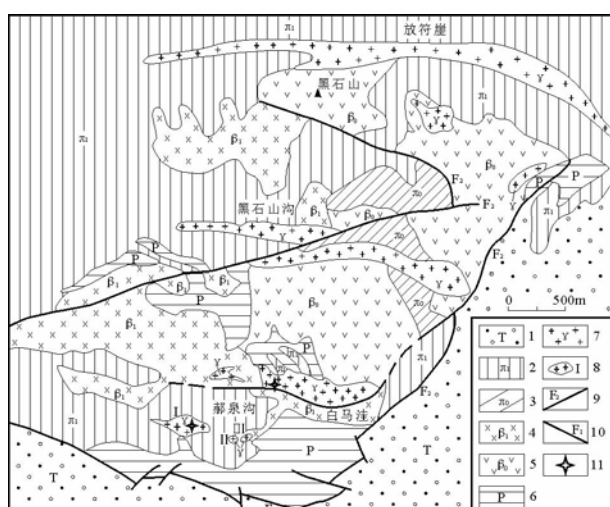


图 1 墨石山地区地质略图(据参考文献[1]修改)

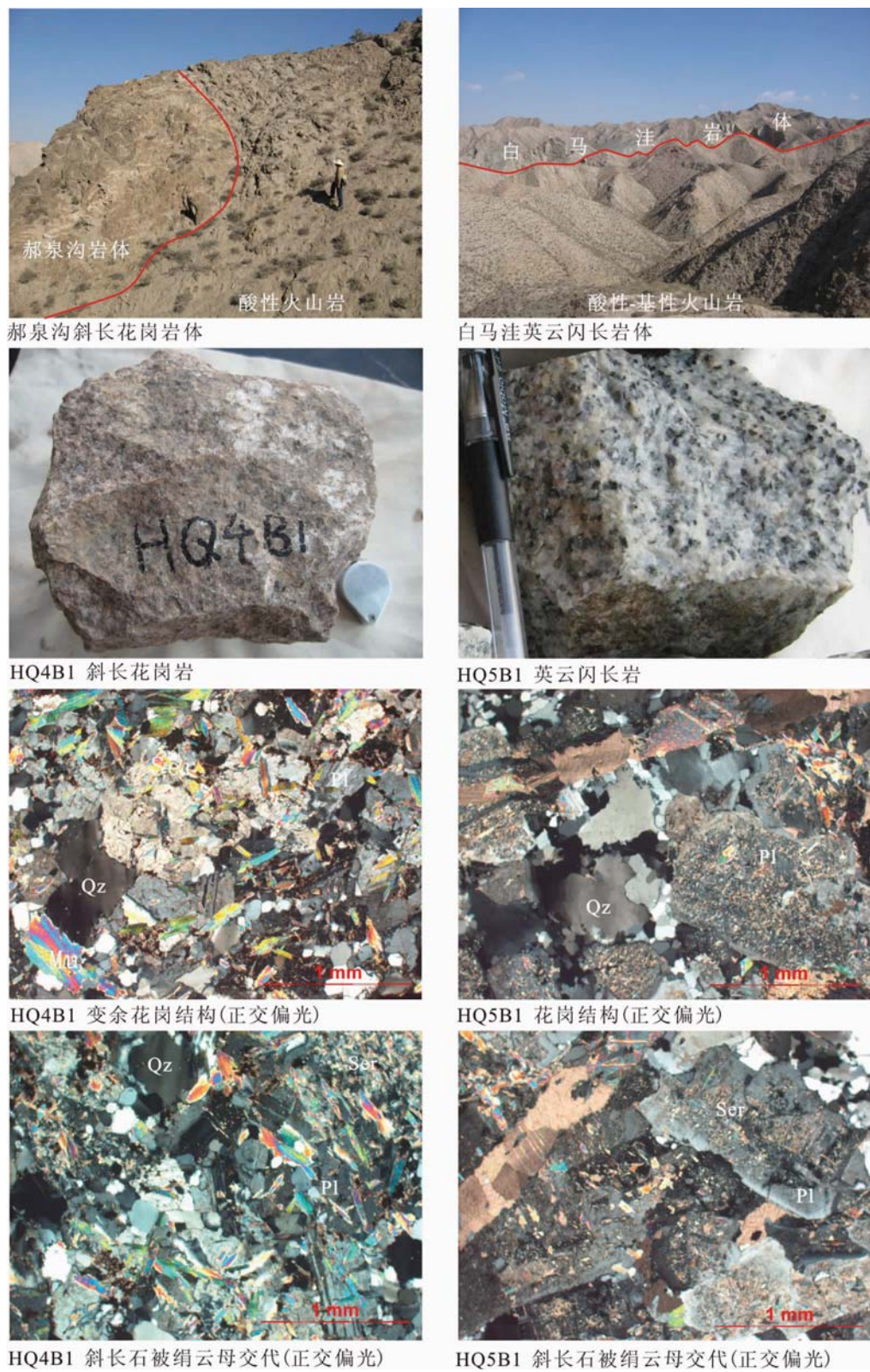
Fig. 1 Geological sketch map of Heishishan area

1—三叠系砂砾岩;2—酸性火山岩;3—酸性次火山岩;4—基

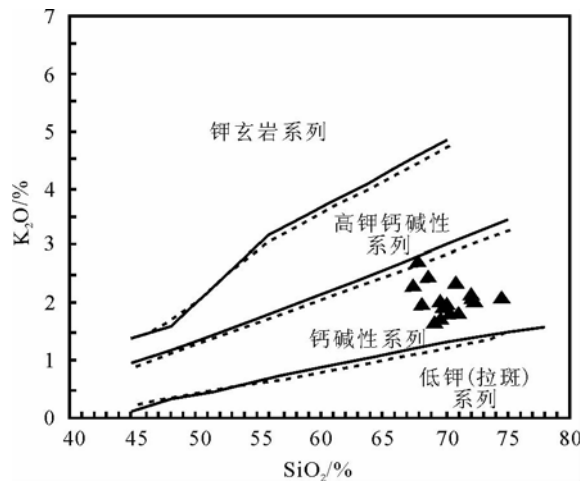
性火山岩;5—基性次火山岩;6—沉积岩;7—斜长花岗岩-花

岗闪长岩;8—郝泉沟岩体及其编号;9—断层及其编号;

图版 I Plate I



Qz—石英; Pl—斜长石; Ser—绢云母

图 2 花岗岩 SiO_2 - K_2O 判别图解(据参考文献[23])Fig. 2 SiO_2 - K_2O discrimination diagram of granites

分选工作在廊坊市峰泽源岩矿检测技术实验室完成,各得1000余粒锆石。制靶、阴极发光照相和锆石U-Pb同位素测定在西北大学地质学系大陆动力学国家重点实验室进行。在双目镜下挑选晶形完好、具有代表性的锆石颗粒,镶嵌于环氧树脂中抛光使锆石内部暴露,对待测锆石进行透射光和反射光显微照相,然后镀碳膜,并通过扫描电镜进行阴极发光照相,选定最佳的锆石待测部位并进行数据解释,进而进行光学及LA-ICP-MS锆石U-Pb同位素分析。LA-ICP-MS(激光剥蚀等离子体质谱法)的锆石微量元素U-Pb同位素测定采用Agilent 7500型ICP-MS和德国Lambda Physik公司的ComPex 102 ArF准分子激光器(工作物质ArF,波长193nm)

及Micro Las公司的GeoLas 200M光学系统联机进行。激光束斑直径为30 μm ,激光剥蚀样品的深度为20~40 μm 。实验中采用氦作为剥蚀物质的载气。用美国国家标准技术研究院研制的人工合成硅酸盐玻璃标准参考物质NIST610进行仪器最佳化,使仪器达到最高灵敏度、最小的氧化物产率、最低的背景值和稳定的信号。采用标准锆石91500作为外标标准物质,普通铅采用Andersen Tom的3D坐标法进行校正,元素含量采用NISTSRM610作为标准, ^{29}Si 作为内标元素。样品的同位素比值及元素含

量计算采用GLITTER(ver4.0, Macquarie University)程序,年龄计算及谐和图的绘制采用Isoplot(ver2.49)完成。详细分析步骤和数据处理方法参见文献[10~12]。

3.2 测试结果

根据锆石阴极发光图像(图3、图4)和镜下特征,选择晶形完整、自形程度高、颗粒较大、具有明显岩浆震荡环带的锆石颗粒进行U-Pb同位素分析。本次测试的所有锆石Th/U值均大于0.4(表1、表2),具岩浆结晶锆石的特征^[13],因此锆石的结晶年龄可以代表花岗岩体的成岩年龄。

2件样品均测试了30个点,各有25个点参与年龄加权平均值计算。经普通铅校正后,测试结果列于表1和表2。白马洼英云闪长岩样品中锆石的 $^{206}\text{Pb}/^{238}\text{U}$ 年龄加权平均值为440.2Ma±2.4Ma(图5),相当于晚奥陶世末;郝泉沟斜长花岗岩样品中锆石的 $^{206}\text{Pb}/^{238}\text{U}$ 年龄加权平均值为431.8Ma±2.4Ma(图6),相当于早志留世。

4 花岗岩源区同位素示踪

白马洼花岗岩体全岩样品的Rb-Sr和Sm-Nd同位素组成在宜昌地质矿产研究所测试中心测定。根据Rb-Sr和Sm-Nd同位素组成及锆石年龄,计算($^{87}\text{Sr}/^{86}\text{Sr}$)_i值和 $\varepsilon_{\text{Nd}}(t)$ 值,以此来示踪花岗岩源区的性质。

白马洼花岗岩体样品(HQD5B1)测试结果: $^{87}\text{Rb}/^{86}\text{Sr}$ 比值为0.5774, $^{87}\text{Sr}/^{86}\text{Sr}$ 比值为0.70897±

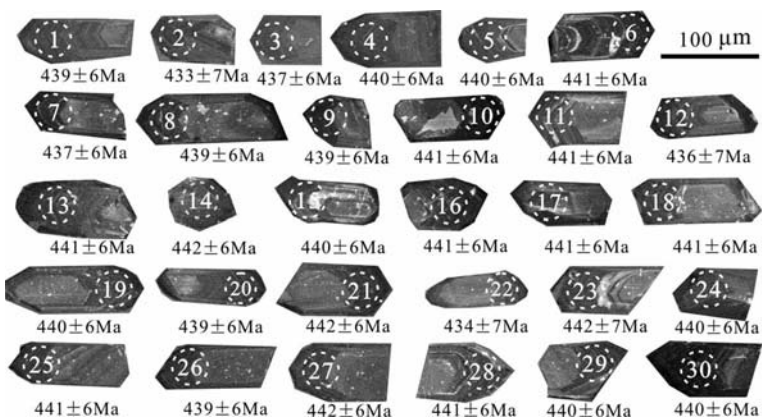
图3 白马洼岩体英云闪长岩锆石阴极发光图像、分析点位及 $^{206}\text{Pb}/^{238}\text{U}$ 年龄Fig. 3 CL images, measuring points and age data($^{206}\text{Pb}/^{238}\text{U}$) of zircons from tonalite of Baimawa intrusive body

表 1 白马洼花岗岩体 LA-ICP-MS 锆石 U-Th-Pb 同位素测试结果
Table 1 LA-ICP-MS U-Th-Pb analytical results of zircons from Baiinawa granite body

测点号	$^{207}\text{Pb}/^{206}\text{Pb}$			$^{207}\text{Pb}/^{235}\text{U}$			$^{208}\text{Pb}/^{238}\text{U}$			$^{208}\text{Pb}/^{232}\text{Th}$			$^{207}\text{Pb}/^{208}\text{Pb}$			$^{207}\text{Pb}/^{232}\text{Th}$			$^{207}\text{Pb}/^{235}\text{U}$			$^{207}\text{Pb}/^{238}\text{U}$			$^{208}\text{Pb}/^{235}\text{U}$								
	比值	误差/ 1σ	比值	误差/ 1σ	比值	误差/ 1σ	比值	误差/ 1σ	比值	误差/ 1σ	比值	误差/ 1σ	比值	误差/ 1σ	比值	误差/ 1σ	比值	误差/ 1σ	比值	误差/ 1σ	比值	误差/ 1σ	比值	误差/ 1σ	比值	误差/ 1σ	比值	误差/ 1σ	比值	误差/ 1σ			
1	0.05442	0.00166	0.52947	0.00883	0.07055	0.00105	0.02106	0.00029	273.39	16.60	20.93	516.85	967.68	0.54	388	17	431	6	439	6	421	6	98										
2	0.07243	0.00222	0.70184	0.00144	0.07456	0.00144	0.02497	0.00034	333.54	27.89	32.54	645.42	1143.90	0.60	644	89	468	44	433	7	428	6	448										
3	0.05516	0.00168	0.53376	0.00880	0.07016	0.00105	0.02142	0.00029	242.88	14.78	16.42	399.66	852.20	0.47	419	16	434	6	437	6	428	6	99										
4	0.05571	0.00171	0.54209	0.00915	0.07056	0.00106	0.02181	0.00030	232.14	14.17	16.28	394.21	809.43	0.51	441	17	440	6	440	6	436	6	100										
5	0.05659	0.00175	0.55138	0.00944	0.07065	0.00106	0.02179	0.00030	226.46	14.05	17.33	410.91	780.49	0.51	476	17	446	6	440	6	436	6	101										
6	0.05511	0.00169	0.53812	0.00904	0.07080	0.00106	0.02163	0.00030	282.36	17.25	23.64	576.48	997.44	0.56	417	17	437	6	441	6	433	6	99										
7	0.05530	0.00172	0.53507	0.00929	0.07015	0.00105	0.02177	0.00031	193.81	11.98	16.31	394.34	695.94	0.57	424	17	435	6	437	6	435	6	100										
8	0.05495	0.00171	0.53460	0.00931	0.07054	0.00106	0.02168	0.00031	202.12	12.28	15.02	364.63	710.53	0.51	410	17	435	6	434	6	434	6	99										
9	0.05481	0.00171	0.53257	0.00929	0.07046	0.00106	0.02111	0.00030	198.83	12.17	17.22	436.71	716.09	0.61	404	17	434	6	439	6	422	6	99										
10	0.05700	0.00178	0.55675	0.00986	0.07083	0.00107	0.02288	0.00034	224.60	14.04	14.78	339.00	763.76	0.47	492	18	449	6	441	6	457	7	102										
11	0.05489	0.00173	0.53598	0.00969	0.07081	0.00107	0.02203	0.00032	160.79	9.77	12.03	291.93	566.75	0.53	408	18	436	6	441	6	440	6	99										
12	0.07365	0.00249	0.78342	0.00222	0.07448	0.00294	0.02944	0.00044	412.41	34.24	45.78	876.43	1322.40	0.60	409	17	432	6	436	7	427	6	446										
13	0.05731	0.00178	0.56005	0.00968	0.07086	0.00106	0.02307	0.00033	229.33	14.88	16.69	385.16	808.98	0.47	503	17	452	6	441	6	461	7	102										
14	0.05604	0.00176	0.54875	0.00970	0.07101	0.00107	0.02243	0.00033	180.74	11.21	13.14	317.80	640.23	0.49	454	18	444	6	442	6	448	7	100										
15	0.05739	0.00180	0.55868	0.00988	0.07060	0.00106	0.02142	0.00031	186.46	12.05	15.39	391.15	672.34	0.57	507	17	451	6	440	6	428	6	103										
16	0.05607	0.00174	0.54771	0.00942	0.07084	0.00106	0.02233	0.00032	217.30	13.48	17.74	429.36	766.35	0.55	455	17	443	6	441	6	446	6	100										
17	0.05640	0.00180	0.55038	0.01019	0.07077	0.00107	0.02167	0.00032	152.36	9.54	11.72	293.92	538.99	0.54	468	19	445	7	441	6	433	6	101										
18	0.05580	0.00176	0.54522	0.00969	0.07086	0.00107	0.02187	0.00033	222.78	13.72	14.97	372.46	785.64	0.51	444	18	442	6	441	6	437	7	100										
19	0.05591	0.00174	0.54481	0.00937	0.07066	0.00106	0.02197	0.00032	223.61	13.84	17.05	429.74	800.40	0.52	449	17	442	6	440	6	439	6	100										
20	0.05575	0.00174	0.54166	0.00936	0.07045	0.00106	0.02131	0.00031	330.77	20.70	25.28	663.96	1212.30	0.53	442	17	440	6	439	6	426	6	100										
21	0.05544	0.00175	0.54247	0.00971	0.07096	0.00107	0.02244	0.00033	195.57	11.93	15.45	382.91	688.02	0.57	430	18	440	6	442	6	449	7	100										
22	0.06254	0.00249	0.65904	0.00144	0.07446	0.00258	0.02437	0.00045	287.60	20.95	28.69	634.05	1023.40	0.56	445	97	434	4	434	7	442	7	460	7	102								
23	0.05681	0.00183	0.55643	0.01053	0.07103	0.00108	0.02302	0.00035	154.68	9.65	12.30	287.75	531.25	0.53	484	19	449	7	441	6	439	6	449	7	100								
24	0.06555	0.00246	0.64405	0.00144	0.07467	0.00223	0.00044	247.66	18.12	20.22	433.95	893.77	0.45	298	46	543	7	449	6	446	8	445	8	144									
25	0.05680	0.00178	0.55403	0.00960	0.07073	0.00106	0.02255	0.00033	252.37	15.64	19.34	477.03	887.70	0.54	484	17	448	6	441	6	451	7	102										
26	0.05588	0.00178	0.54328	0.00981	0.07050	0.00106	0.02248	0.00034	184.32	11.35	14.94	373.17	659.80	0.57	448	18	441	6	442	6	439	6	449	7	100								
27	0.05659	0.00178	0.55322	0.00964	0.07090	0.00107	0.02295	0.00034	231.75	14.55	17.85	438.54	818.46	0.52	476	17	447	6	442	6	459	7	101										
28	0.06683	0.00244	0.65347	0.00144	0.07488	0.00262	0.00047	244.49	16.15	18.46	363.02	732.02	0.48	332	16	540	7	444	6	441	6	533	8	146									
29	0.05601	0.00178	0.54579	0.00983	0.07067	0.00107	0.02277	0.00034	184.35	11.36	15.39	378.41	650.18	0.57	453	18	442	6	440	6	455	7	100										
30	0.05660	0.00180	0.55103	0.00991	0.07060	0.00107	0.02303	0.00035	213.78	13.07	14.12	339.93	739.55	0.47	476	18	446	6	440	6	460	7	101										

注: 带删除线的数据为未参加图 5、图 6 中谐和年龄和加权平均值计算的数据

表 2 郝泉沟花岗岩体 LA-ICP-MS 锆石 U-Th-Pb 同位素测试结果
Table 2 LA-ICP-MS U-Th-Pb analytical results of zircons from Haquangou granite

1
表：同寶

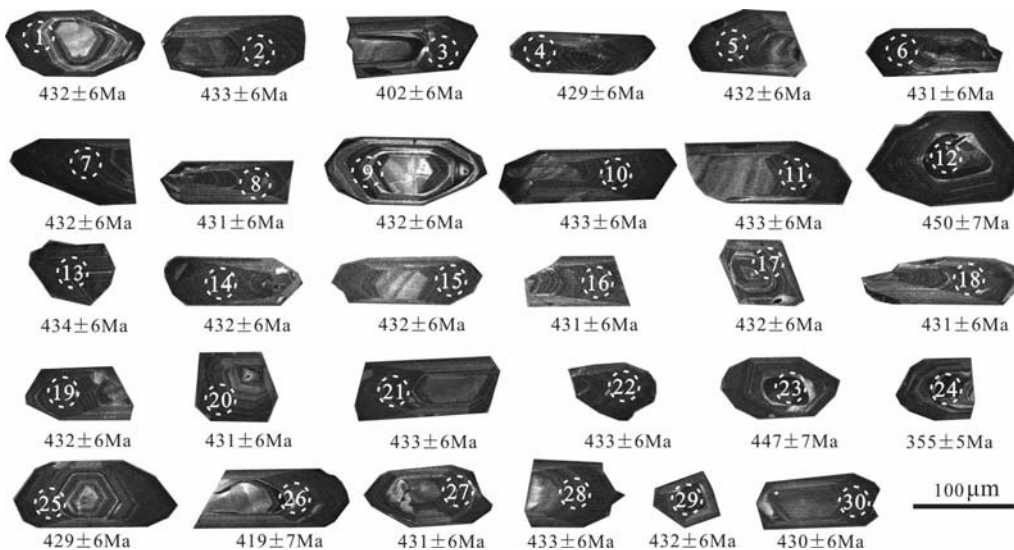


图 4 郝泉沟岩体斜长花岗岩锆石阴极发光图像、

分析点位及 $^{206}\text{Pb}/^{238}\text{U}$ 年龄

Fig. 4 CL images, measuring points and age data ($^{206}\text{Pb}/^{238}\text{U}$)
of zircon from plagiogranite of Haoquangou intrusive

0.00004, $^{147}\text{Sm}/^{144}\text{Nd}$ 比值为 0.0919, $^{143}\text{Nd}/^{144}\text{Nd}$ 比值为 0.512393 ± 0.000002 (表 3)。按年龄 $440.2\text{ Ma} \pm 2.4\text{ Ma}$ 计算, $(^{87}\text{Sr}/^{86}\text{Sr})_i$ 值为 0.70535, $\varepsilon_{\text{Nd}}(t)$ 值为 1.11。

自从 Chappell 等^[14-15]最早提出 I 型和 S 型花岗岩之后,许多学者对其 Sr、Nd 同位素特征进行了研究。邢凤鸣^[16]认为 I 型花岗岩的 Sr 初始值在 0.704~0.706 之间, S 型花岗岩的 Sr 初始值大于 0.708。张旗

等^[17]认为 I 型花岗岩 Nd 初始值较高, Sr 初始值较低, 源岩主要为玄武质岩石, 主要源于下地壳的部分熔融; S 型花岗岩 Nd 初始值较低, Sr 初始值较高; 还认为花岗岩都是壳源的, 并按照 Nd-Sr 同位素比值将花岗岩大致分为玄武岩源区(B 区)、陆壳源区(C 区)、玄武岩源区和陆壳源区之间的过渡源区(BC 区), 前者以高的 ε_{Nd} 和低的 ε_{Sr} 为特征, ε_{Nd} 主

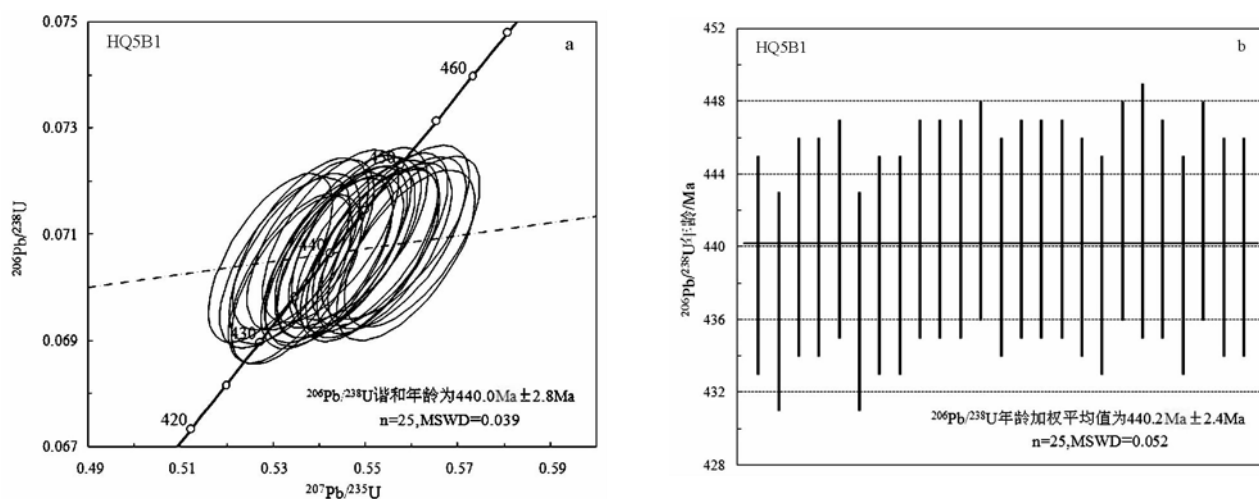
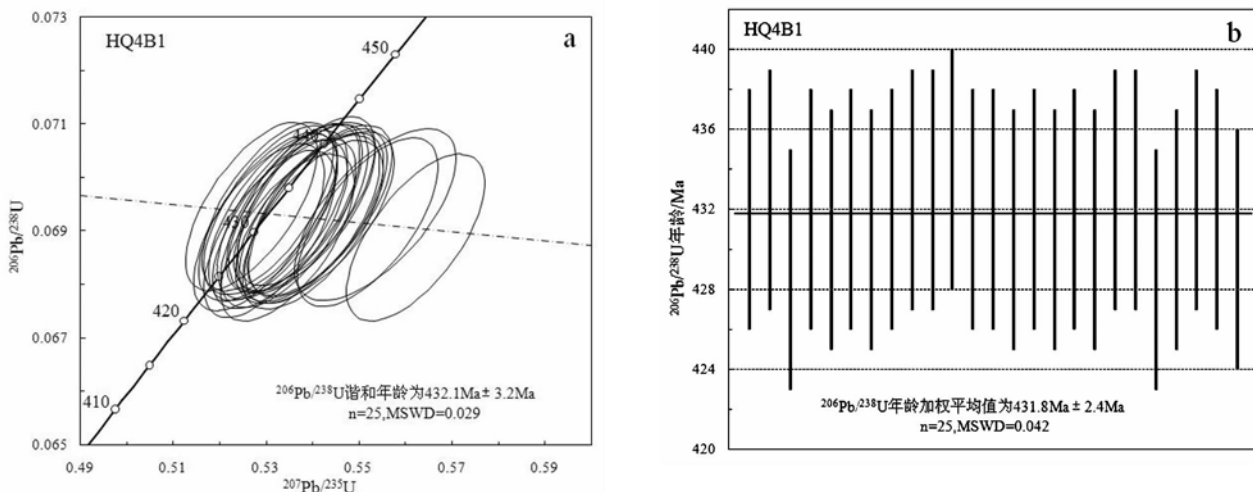
图 5 白马洼花岗岩体锆石 U-Pb 谱和图和 $^{206}\text{Pb}/^{238}\text{U}$ 年龄

Fig. 5 Zircon U-Pb concordia diagram and $^{206}\text{Pb}/^{238}\text{U}$
age spectrum of Baimawa granite body

图 6 郝泉沟花岗岩体锆石 U-Pb 谱和图和 $^{206}\text{Pb}/^{238}\text{U}$ 年龄Fig. 6 Zircon U-Pb concordia diagram and $^{206}\text{Pb}/^{238}\text{U}$ age spectrum of Haoquangou granite body

要为正值, ε_{Sr} 很少超过 0.710。本次白马洼岩体计算的 $\varepsilon_{\text{Nd}}(t)$ 值为 1.11, $(^{87}\text{Sr}/^{86}\text{Sr})_i$ 值为 0.70535, 具有 I 型花岗岩特征, 属于玄武岩源区, 源于下地壳部分熔融。

5 成岩环境及岩浆起源讨论

祁连山及其邻区在前震旦纪形成统一陆块; 晚震旦世—早寒武世, 进入大陆裂谷体制阶段; 晚寒武世—早中奥陶世, 为洋盆扩张阶段; 从中奥陶世开始, 一直持续到中新生代, 进入了造山阶段, 其间经历了俯冲造山(中奥陶世—晚奥陶世)、碰撞造山(早志留世—晚泥盆世)及碰撞后陆内造山(早石炭世—现代)几个阶段^[18]。北祁连山奥陶纪岛弧火山岩系沿走廊南山分布, 东起白银厂地区, 中经永登县石灰沟、民乐县西道流, 西迄祁连县边马沟以西, 呈 SE—NW 向展布, 长度已超过 800km^[19]。现今北祁连造山

带志留系地层分布区的南侧出露有 2 条奥陶系俯冲杂岩带, 是中晚奥陶世俯冲造山作用最直接的证据。在肃南—民乐童子坝河一带的下志留统下部发育有一层巨厚的砾岩层, 具磨拉石建造特征, 预示志留纪残留海盆南侧存在着因俯冲作用而形成的山体^[20]。

通常情况下, 具正 $\varepsilon_{\text{Nd}}(t)$ 值的花岗岩被认为和地壳生长事件有关^[21–22]。本次采用 LA-ICP-MS 同位素测定技术, 获得郝泉沟斜长花岗岩和白马洼英云闪长岩锆石 U-Pb 年龄分别为 431.8Ma ± 2.4Ma 和 440.2Ma ± 2.4Ma, 白马洼花岗岩体 $\varepsilon_{\text{Nd}}(t)$ 值为 1.11, 表明晚奥陶世末—早志留世, 随着北祁连洋盆闭合, 中祁连地块与北祁连奥陶纪岛弧发生碰撞, 导致地壳增厚, 引起下地壳玄武质岩石部分重熔, 黑石山一带的中酸性侵入岩就形成于该背景下。

表 3 白马洼花岗岩体 Rb-Sr 和 Sm-Nd 同位素分析结果

Table 3 Rb-Sr and Sm-Nd isotope analytical results of Baimawa granite body

样品 编号	Rb $/10^{-6}$	Sr $/10^{-6}$	$^{87}\text{Rb}/^{86}\text{Sr}$	$^{87}\text{Sr}/^{86}\text{Sr} \pm 1\sigma$	Sm $/10^{-6}$	Nd $/10^{-6}$	$^{147}\text{Sm}/^{144}\text{Nd}$	$^{143}\text{Nd}/^{144}\text{Nd} \pm 1\sigma$	$T_{\text{DM}}/\text{Ma} \pm 1\sigma$
HQD5B1	62.14	310.3	0.5774	0.70897 ± 0.00004	1.736	11.43	0.0919	0.512393 ± 0.000002	948 ± 2

注: 国土资源部中南矿产资源监督检测中心同位素地球化学研究室测试

6 结 论

(1) 白马洼和郝泉沟花岗岩体的锆石 $^{206}\text{Pb}/^{238}\text{U}$ 年龄分别为 $440.2\text{Ma} \pm 2.4\text{Ma}$ 和 $431.8\text{Ma} \pm 2.4\text{Ma}$, 表明其形成时代为晚奥陶世末—早志留世。

(2) 白马洼花岗岩体的全岩 ($^{87}\text{Sr}/^{86}\text{Sr}$)_i 值为 0.70535, $\epsilon_{\text{Nd}}(t)$ 值为 1.11, 具有 I 型花岗岩特征, 表明其源于下地壳玄武岩部分熔融。

(3) 晚奥陶世—早志留世, 随着北祁连洋盆闭合, 中祁连地块与北祁连奥陶纪岛弧发生碰撞, 导致地壳增厚, 引起下地壳玄武质岩石部分重熔, 北祁连黑石山地区的花岗岩体就形成于该背景下。

致谢: 野外工作期间得到甘肃有色地质调查院周宏等同志的支持和帮助, 测试过程中得到了西北大学大陆动力学实验室和宜昌地质矿产研究所同位素室的大力支持, 审稿人提出了许多建设性的意见, 在此一并表示衷心的感谢。

参 考 文 献

- [1] 王光宁.白银黑石山东部侵入岩体特征及其含矿性[J].西北地质, 1999, 32(1):5-10.
- [2] 王光宁.甘肃白银地区金矿成矿规律及找矿方向[J].黄金科学技术, 2000, 8(3):24-28.
- [3] 张照志, 王志远.甘肃白银郝泉沟金矿控矿构造研究[J].黄金地质, 2002, 8(1):6-10.
- [4] 付善明, 周永章, 郭原生, 等.甘肃黑石山埃达克岩金矿床成矿模式初析[J].矿床地质, 2005, 24(6):669-675.
- [5] 王金荣, 郭原生, 付善明, 等.甘肃黑石山早古生代埃达克质岩的发现及其构造动力学意义[J].岩石学报, 2005, 21(3):977-985.
- [6] 郭原生, 王金荣, 谢宪利, 等.白银厂矿田早中寒武世火山岩地球化学及成因分析[J].岩石学报, 2000, 16:337-344.
- [7] 王金荣, 郭原生, 翟新伟, 等.甘肃白银厂矿田早—中寒武世火山岩形成的构造环境[J].高校地质学报, 2003, 9:89-98.
- [8] 何世平, 王洪亮, 陈隽璐, 等.甘肃白银矿田变酸性火山岩锆石 LA-ICP-MS 测年——白银式块状硫化物矿床形成时代新证据[J].矿床地质, 2006, 25(4):401-411.
- [9] 李向民, 马中平, 孙吉明, 等.甘肃白银矿田基性火山岩的 LA-ICP-MS 同位素年代学[J].地质通报, 2009, 28(7):901-906.
- [10] 柳小明, 高山, 袁洪林.193nm LA-ICP-MS 对国际地质标准参考物质中 42 种主元素和微量元素的分析[J].岩石学报, 2002, 18(3):408-418.
- [11] Gao Shan, Liu Xiao-ming, Yuan Hong-lin. Analysis of forty-two major and trace elements of USGS and NIST SRM Glasses by LA-ICP-MS[J]. Geostand News, 2002, 22:181-19.
- [12] 袁洪林, 吴福元, 高山.东北地区新生代侵入体的锆石激光探针 U-Pb 年龄测定与稀土元素成分分析[J].科学通报, 2003, 48(14):1511-1520.
- [13] 李长民.锆石成因矿物学与锆石微区定年综述[J].地质调查与研究, 2009, 33(3):161-174.
- [14] Chappell B W, White A J R. Two contrasting granite types [J]. Pac. Geol., 1974, 8:173-174.
- [15] Chappell B W, White A J R. I-and S-type granites in the Lachlan Fold Belt[J]. Trans. R. Soc. Edinb. Earth Sci., 1992, 83:1-26.
- [16] 邢凤鸣.锶同位素初始比值在划分花岗岩成因类型上的应用讨论[J].岩石学报, 1987, 2: 75-79.
- [17] 张旗, 王焰, 潘国强, 等.花岗岩源岩问题——关于花岗岩研究的思考之四[J].岩石学报, 2008, 24(6):1193-1204.
- [18] 冯益民, 何世平.祁连山大地构造与造山作用[M].北京:地质出版社, 1996, 84-94.
- [19] 夏林圻, 夏祖春, 徐学义.北祁连山构造——火山岩浆演化动力学[J].西北地质科学, 1995, 16(1):1-28.
- [20] 夏林圻, 夏祖春, 任有祥, 等.北祁连山构造—火山岩浆—成矿动力学[M].北京:中国大地出版社, 2001:21-101.
- [21] 洪大卫, 王式广, 谢锡林, 等.兴蒙造山带正 $\epsilon_{\text{Nd}}(t)$ 值花岗岩的成因和大陆地壳生长[J].地学前缘, 2000, 7(2):441-456.
- [22] 江思宏, 聂凤军.北山地区花岗岩类成因的 Nd 同位素制约[J].地质学报, 2006, 80(6):826-842.
- [23] Rickwood P C. Boundary lines within petrologic diagrams which use oxides of major and minor elements[J]. Lithos, 1989, 22(4): 247-263.